

先端科学技術セミナー

極限環境下の物質科学

— 金属水素は室温超伝導になるか —

大阪大学 極限量子科学研究センター
超高压量子物性部門
清水克哉
<http://hpr.cqst.osaka-u.ac.jp>
shimizu@cqst.osaka-u.ac.jp

複合極限物性研究のめざすもの

温度(T)、圧力(P)、磁場(B):

物理における重要な3つのパラメータ

同時に2つまたは3つ組み合わせた**極限状態での物質**の特性を研究する。

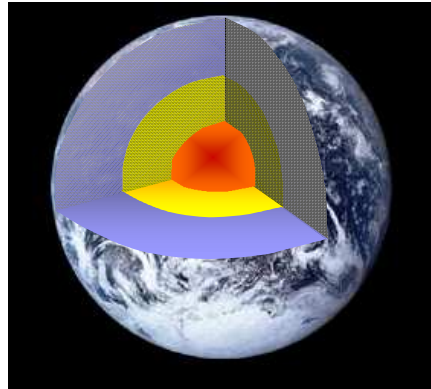
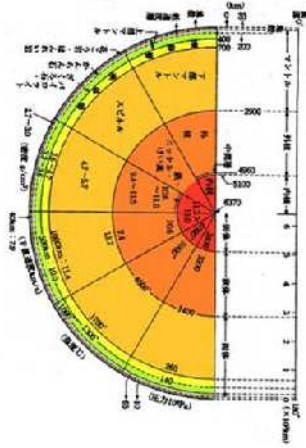
ambient ~ : 1気圧、15℃、0.3ガウス?
(常の~) 常圧、常温、常...

複合極限物性のめざすもの

~~異常な状態での物性研究 「重箱の隅」?~~

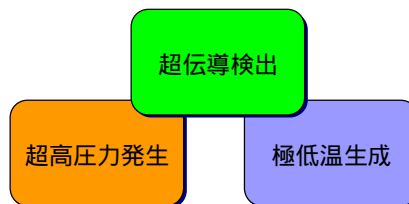
我々の地球の中身は？

鉄(Fe) 35%, 酸素(O) 30%, シリコン(Si) 15%,
マグネシウム(Mg)13%, ...

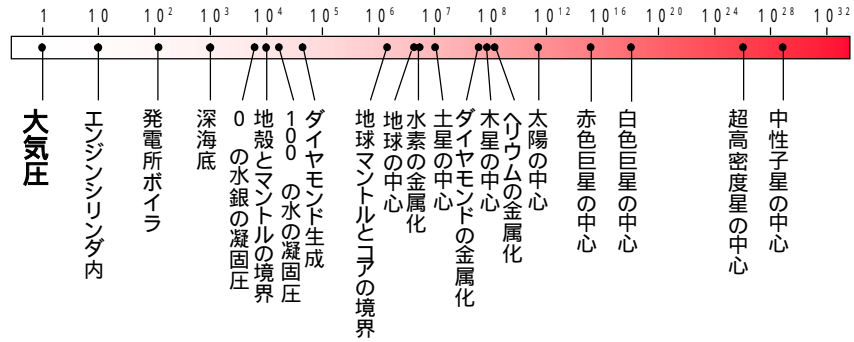


鉄も押せば非磁性になる

- 圧力は物質の特性を大きく変える。
- 非磁性金属なら冷やせば超伝導になるのでは？
- 圧力下での超伝導研究 - 押せばもっと高い T_c ?
- 液体ヘリウム温度(4K)以下での高圧下物性研究の意義

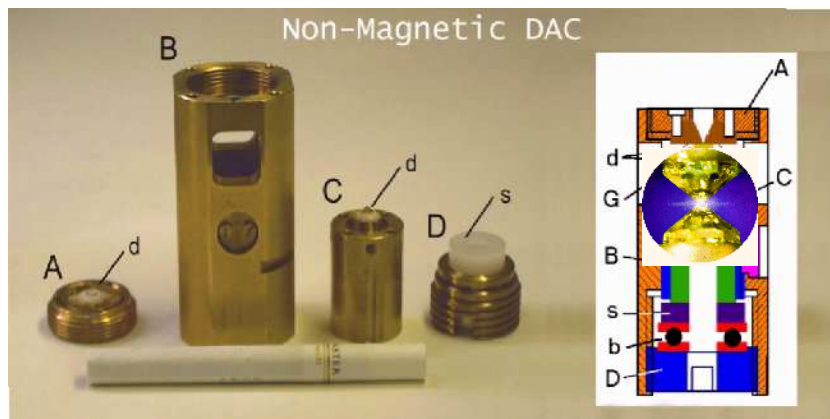


圧力(気圧)



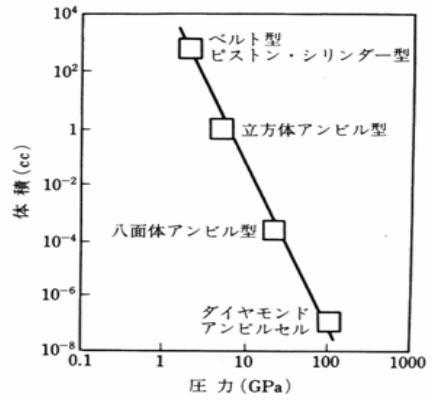
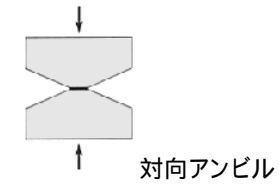
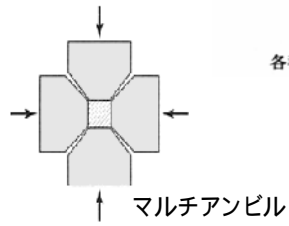
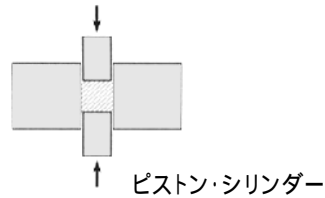
“Giga-Pascal” : 1GPa(10^9 Pa) = 10kbar ~ 1万気圧

圧力装置: Diamond Anvil Cell (DAC)



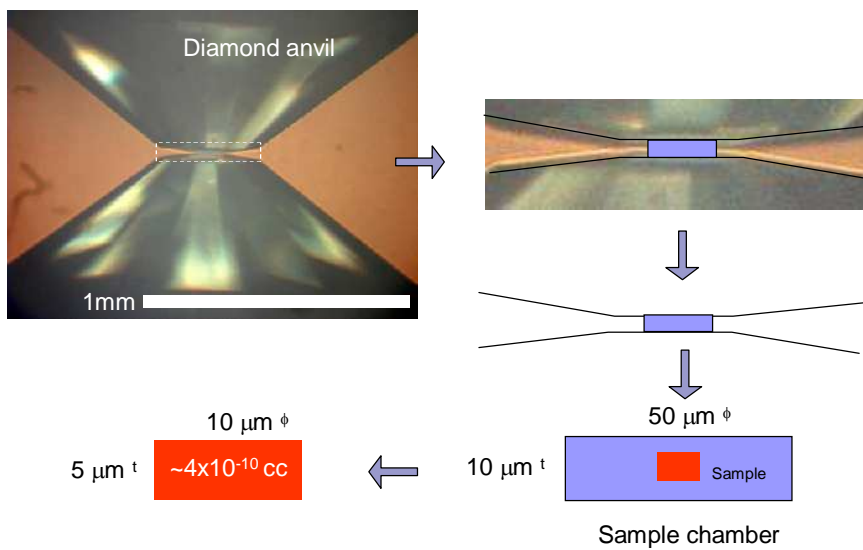
A: upper diamond holder, B: main body, C: cylinder with lower diamond, D: loading nut, d: diamond, s: plastic ring.

荷重を加える方法と発生できる圧力



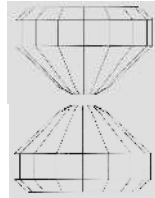
各種静的圧力発生装置における内部体積と到達圧力.

Typical size of sample at Mbar-pressure in DAC

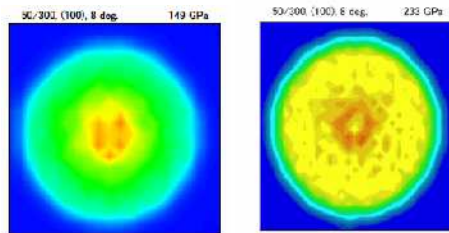
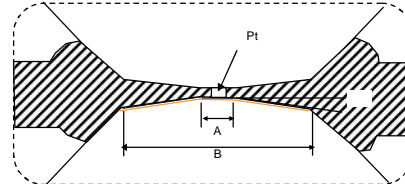


Deformation of synthetic type IIa diamond anvils under high-pressure

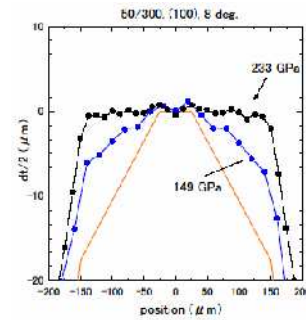
Estimated from transmission coefficient of high-power x-ray beam (SPring-8, BL10X)



A=50 μm
B=300 μm
=8 deg



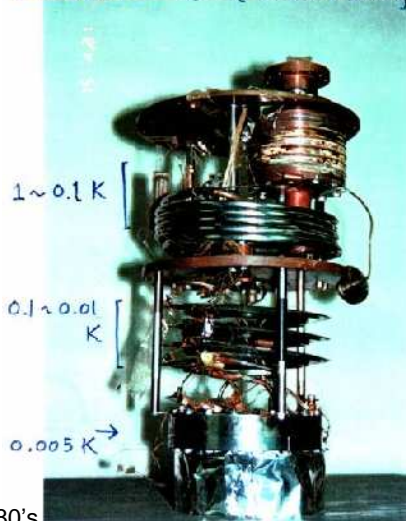
Pressure distribution on diamond surface



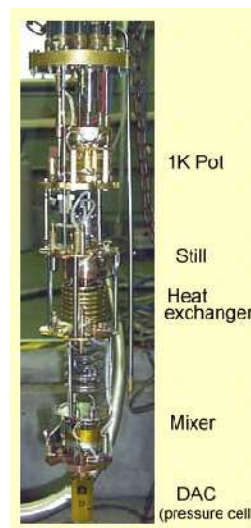
Deformation of diamond surface

我が国の希釈冷凍の創成期(機)

5mK Oxford $^3\text{He}/^4\text{He}$ Dilution Refrigerator

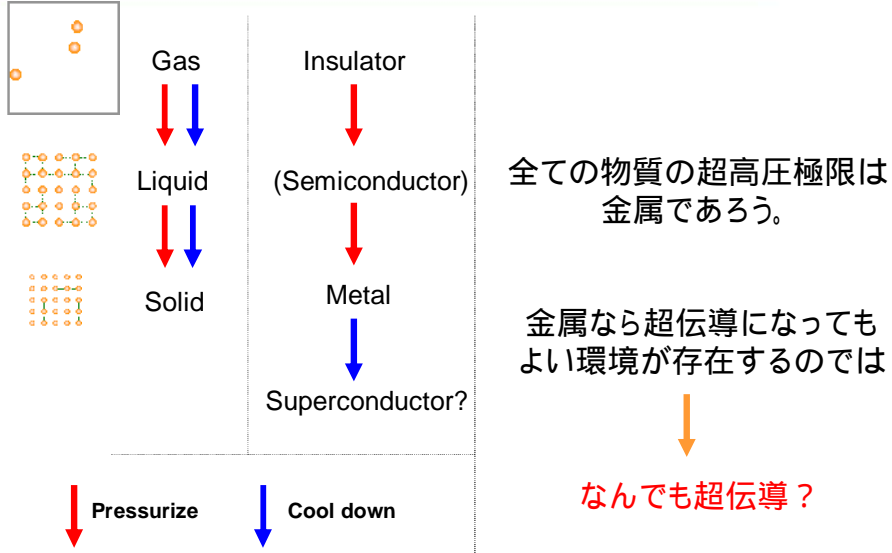


1980's

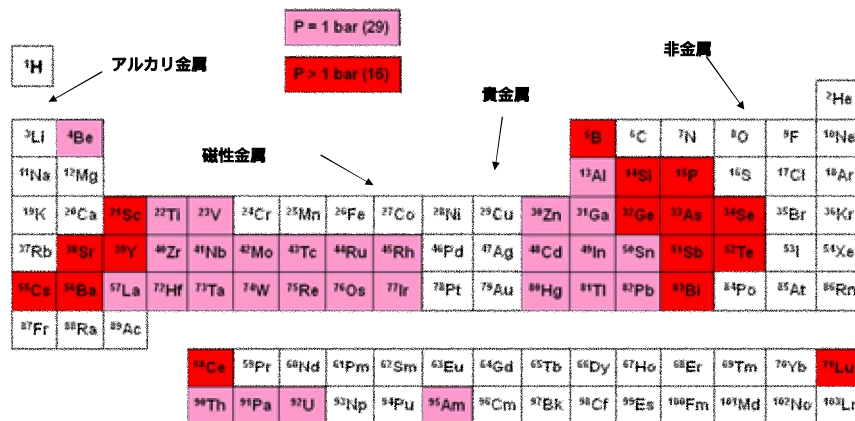


2001

When we change T and/or P



超伝導にならないものには、その理由がある



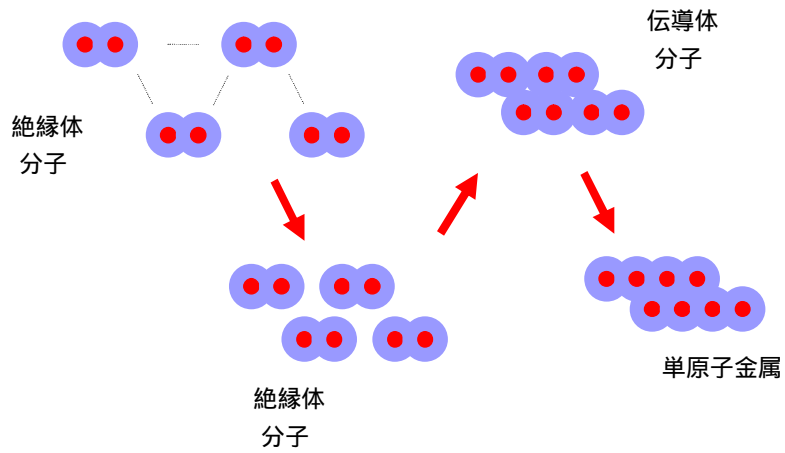
ならない理由

なる理由

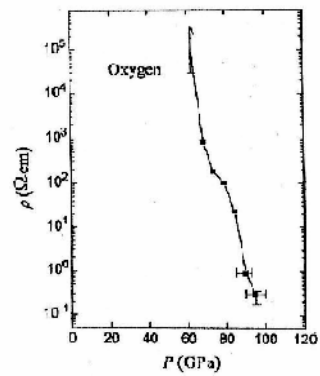
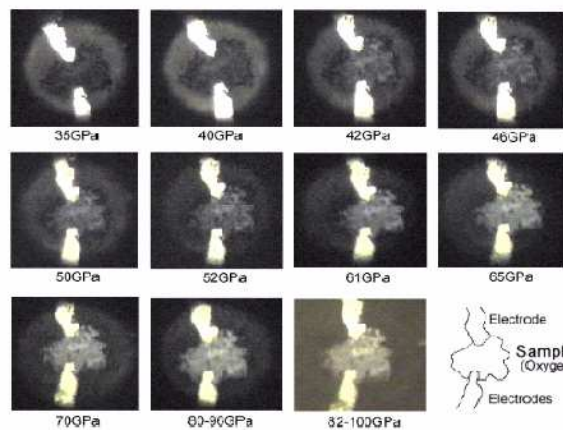
「超伝導」の機構(しくみ)の解明

等核2原子分子

H_2 , O_2 , N_2 , F_2 , Cl_2 , Br_2 , I_2



高压下の酸素 伝導性発現



Electrode
Sample (Oxygen)
Electrodes

酸素の金属化の検証

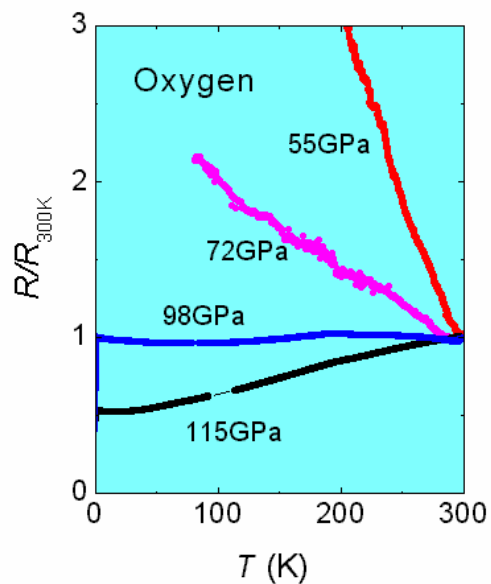
金属とは

電気抵抗値

展性・延性

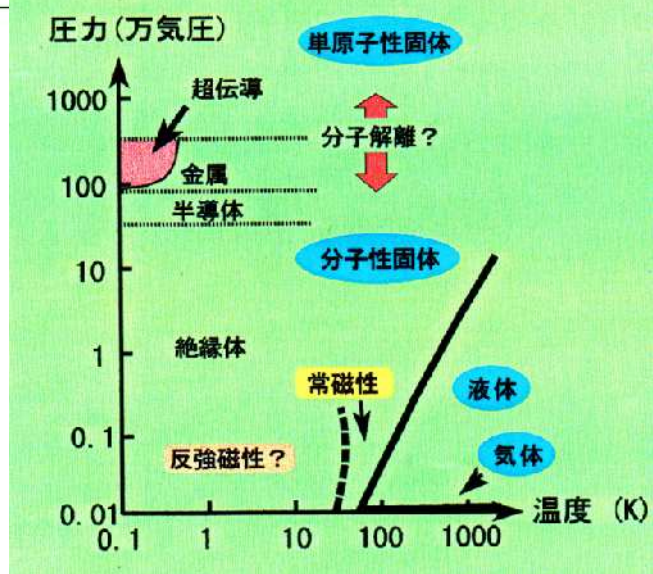
光る(反射)

温度変化

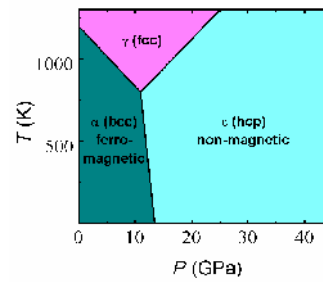
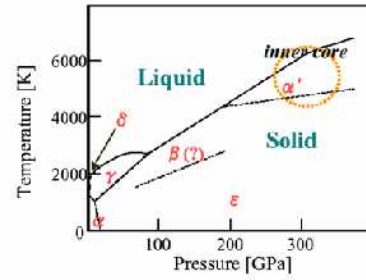
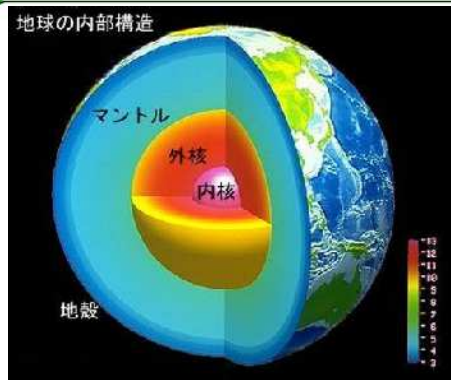


酸素の状態図

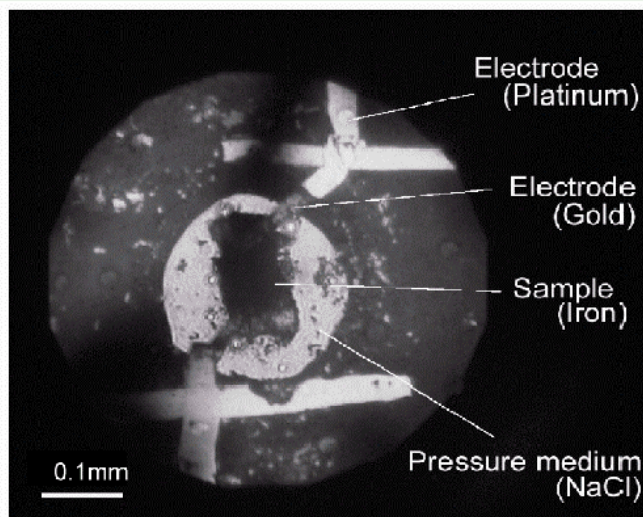
1. 三態
2. 伝導性
3. 磁性
4. 分子性



P-T phase diagram of iron

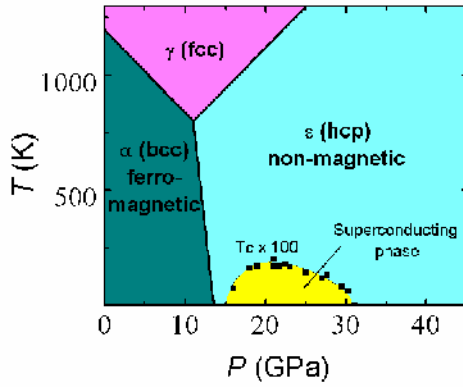


Quasi-4 terminal measurement in quasi-hydrostatic medium

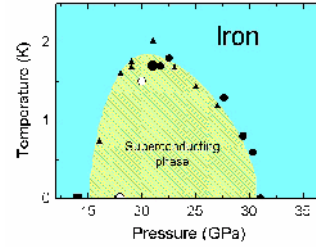


sample: $160 \times 70 \times 40 \mu\text{m}^3$ gold wire: $10 \mu\text{m}$
 platinum film: $5 \mu\text{m}^2$ diamond: 0.5mm culet

P-T phase diagram of iron



K. Shimizu *et al.*, Nature **412** (2001)316.

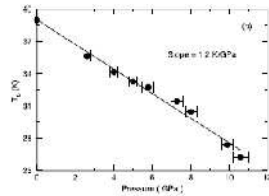


High- T_c superconductors under pressure

$\text{HgBa}_2\text{Ca}_2\text{Cu}_3\text{O}_y$ ~ 138 K
~ 164 K (WR)

L. Gao *et al.*, Phys. Rev. B **50**, 4360 (1993).

MgB_2 39 K

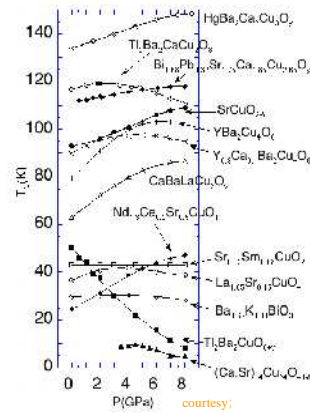


J. Nagamatsu *et al.*, Nature **410** (2001) 63.
F. S. Razavi *et al.*, Physica C **366** (2002) 73.

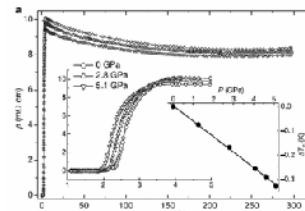
B-doped diamond ~ 12 K

Li ~ 20 K (~ 50 GPa)

K. S *et al.*, Nature **419** (2002) 597.



courtesy:
Prof. H. Takahashi



E. A. Ekimov *et al.*, Nature **428**(2004)542.

in the case of elements...

VOLUME 75, NUMBER 1 PHYSICAL REVIEW LETTERS 1 JANUARY 1997

High Temperature Superconductivity in Metallic Hydrogen: Electron-Electron Enhancements

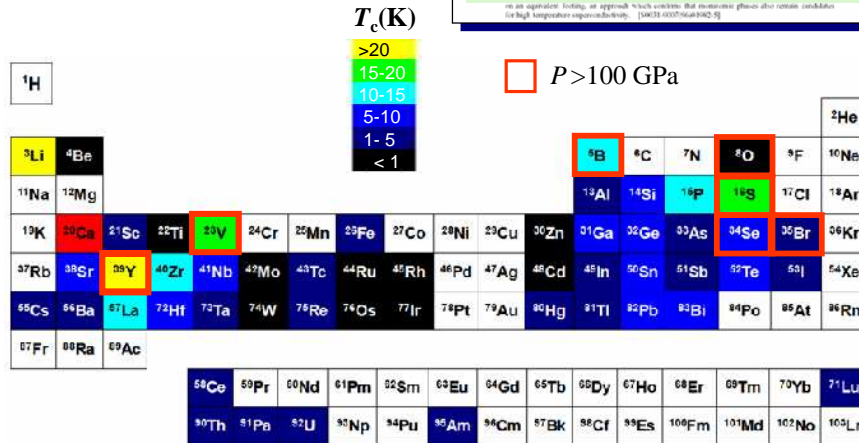
C. F. Richardson¹ and N. W. Ashcroft²

¹Faculty of Physics and Materials Science Center, Cornell University, Ithaca, New York 14853-7501

²New Zealand Institute for Research in Earth and Space Sciences, P.O. Box 21008, Wellington, New Zealand (Received 23 August 1996)

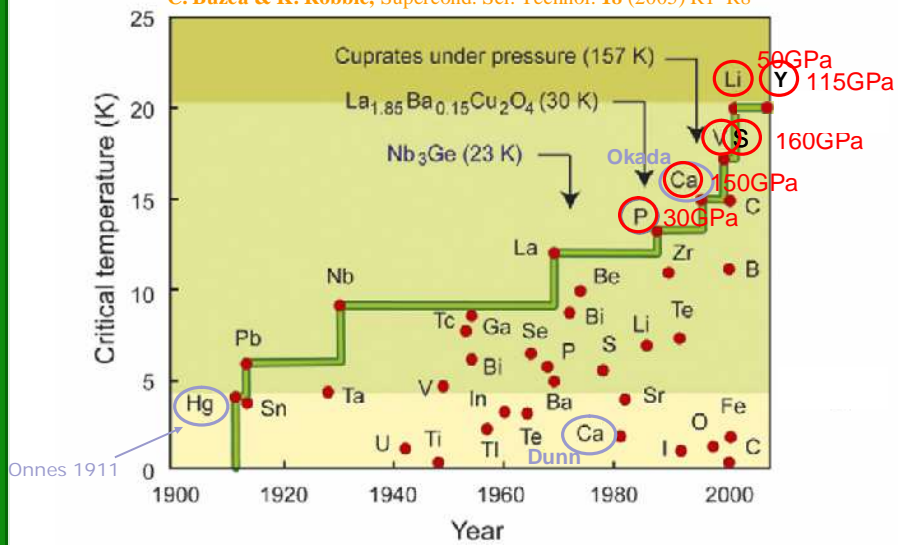
We investigate the possibility of superconductivity in a dense phase of hydrogen which becomes metallic hydrogen; $T_c > 300$ K, $P_c > 400$ GPa

an appropriate listing, or approach which enables the discoverer to obtain candidates for high temperature superconductivity. [0031-0013/97/010001-05]



Superconducting history in elements...

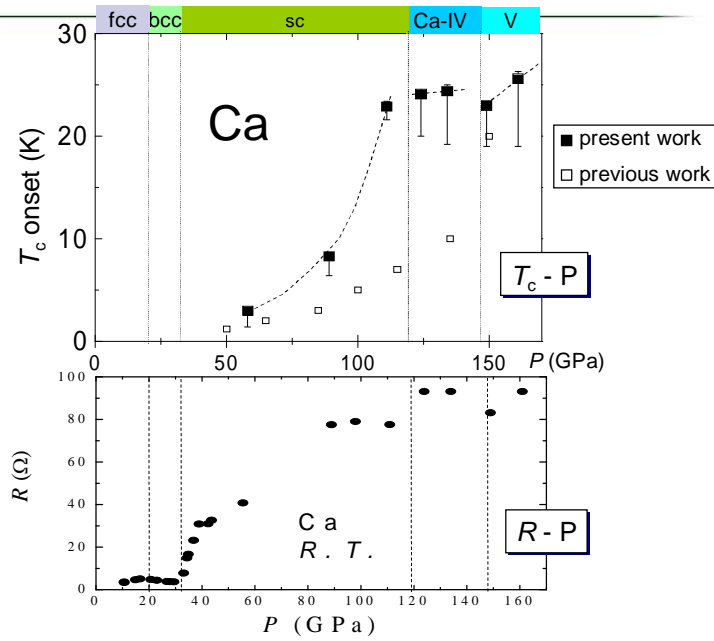
C. Buzea & K. Robbie, Supercond. Sci. Technol. 18 (2005) R1-R8



K. J. Dunn and F. P. Bundy: Phys. Rev. B 25 (1982) 194.

S. Okada *et al.*, J. Phys. Soc. Jpn. 65 (1996) 1924.

Pressure dependence of T_c



Summary

- Ca shows T_c of 25.6 K at 161 GPa in Ca-V phase.

